

UNIVERSIDADE FEDERAL DE SANTA CATARINA - UFSC  
CAMPUS BLUMENAU



## *Relatório 12:*

Carlos Eduardo dos Santos Junior  
Marco Antônio Priotto Tonon

Blumenau, Setembro de 2019

## **Sumário**

<b>I Introdução</b>	<b>03</b>
<b>II Desenvolvimento</b>	<b>04</b>
<b>III Conclusão</b>	<b>07</b>
<b>IV Referências Bibliográficas</b>	<b>07</b>

# I Introdução

Neste presente relatório iremos fazer cálculos para encontrar o modelo estático do sistema robotizado mostrado na Figura 1 abaixo, utilizando o Jacobiano e conceitos de cinemática diferencial aprendidos em sala de aula, além de outros que utilizamos ao longo dessa disciplina.

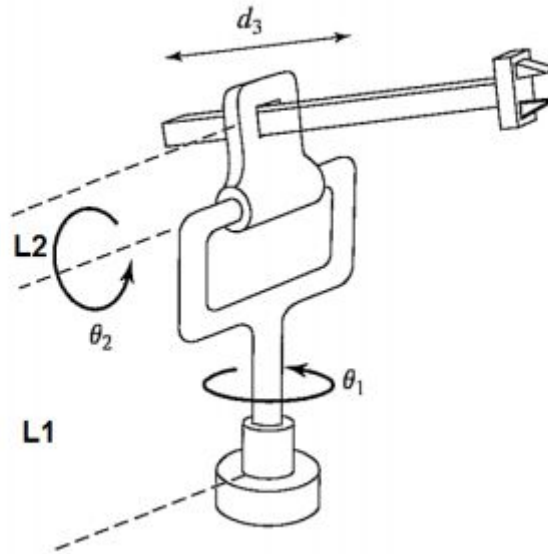


Figura 1: Sistema Robotizado 3DoF.

A Matriz Jacobiana é uma matriz formada por derivadas parciais de uma função vetorial, sua utilidade está presente em várias aplicações, como esta que iremos abordar neste relatório, em linearização para sistema de controle, e para vários teoremas como o de Stokes, Green e Gauss, entre outros, sua definição é mostrada abaixo:

$$\mathbf{J}_G(\mathbf{a}) = \begin{bmatrix} \frac{\partial G_1}{\partial x_1}(\mathbf{a}) & \dots & \frac{\partial G_1}{\partial x_n}(\mathbf{a}) \\ \vdots & \ddots & \vdots \\ \frac{\partial G_n}{\partial x_1}(\mathbf{a}) & \dots & \frac{\partial G_n}{\partial x_n}(\mathbf{a}) \end{bmatrix}$$

Figura 2: Matriz Jacobiana.

Com base nos conceitos da mesma, iremos encontrar uma relação de força e torque para nosso modelo, dado por:

$$\tau = J^t * F$$

## II Desenvolvimento

Dado o manipulador mostrado no excerto acima, fazendo as devidas projeções para as coordenadas dos eixos X,Y e Z, utilizamos os parâmetros de Denavit Hartenberg para descrever seu comportamento.

	Parâmetros de DH			
	$\theta$	$d$	$a$	$\alpha$
OT0	$\theta_1$	L1	0	$-90^\circ$
0T1	$\theta_2 + 90^\circ$	0	L2	$90^\circ$
1T2	0	D3	0	0

Figura 3: Parâmetros de D-H do nosso sistema.

Após isto, com base na convenção de Denavit Hartenberg demonstrada abaixo, montamos nossas matrizes do sistema.

$$\begin{bmatrix} \cos \theta_i & -\cos \alpha_i \sin \theta_i & \sin \alpha_i \sin \theta_i & a_i \cos \theta_i \\ \sin \theta_i & \cos \alpha_i \cos \theta_i & -\sin \alpha_i \cos \theta_i & a_i \sin \theta_i \\ 0 & \sin \alpha_i & \cos \alpha_i & d_i \\ 0 & 0 & 0 & 1 \end{bmatrix}$$

Figura 4: Convenção de Denavit Hartenberg.

$$T1 = \begin{bmatrix} \cos(\theta_1) & 0 & -\sin(\theta_1) & 0 \\ \sin(\theta_1) & 0 & \cos(\theta_1) & 0 \\ 0 & -1 & 0 & L1 \\ 0 & 0 & 0 & 1 \end{bmatrix}$$

$$T2 = \begin{bmatrix} \cos(\theta_2 + 90^\circ) & 0 & \sin(\theta_2 + 90^\circ) & L2 \cdot \cos(\theta_2 + 90^\circ) \\ \sin(\theta_2 + 90^\circ) & 0 & -\cos(\theta_2 + 90^\circ) & L2 \cdot \sin(\theta_2 + 90^\circ) \\ 0 & 1 & 0 & 0 \\ 0 & 0 & 0 & 1 \end{bmatrix}$$

$$T3 = \begin{bmatrix} 1 & 0 & 0 & 0 \\ 0 & 0 & 0 & 0 \\ 0 & 1 & 1 & D3 \\ 0 & 0 & 0 & 1 \end{bmatrix}$$

Figura 5: Matrizes do sistema.

Por fim, Fazendo o produto dessas matrizes, obtivemos o seguinte resultado:

$$T4 = \begin{vmatrix} \cos(\theta_1) \cdot \cos(\theta_2 + 90^\circ) & -\sin(\theta_1) & \cos(\theta_1) \cdot \sin(\theta_2 + 90^\circ) & \cos(\theta_1) \cdot (D3 \cdot \sin(\theta_2 + 90^\circ) + L2 \cdot \cos(\theta_2 + 90^\circ)) \\ \sin(\theta_1) \cdot \cos(\theta_2 + 90^\circ) & \cos(\theta_1) & \sin(\theta_1) \cdot \sin(\theta_2 + 90^\circ) & \sin(\theta_1) \cdot (-D3 \cdot \cos(\theta_2 + 90^\circ) + L2 \cdot \sin(\theta_2 + 90^\circ)) \\ -\sin(\theta_2 + 90^\circ) & 0 & \cos(\theta_2 + 90^\circ) & D3 \cdot \cos(\theta_2 + 90^\circ) - L2 \cdot \sin(\theta_2 + 90^\circ) \\ 0 & 0 & 0 & 1 \end{vmatrix}$$

Figura 6: Matriz Final de nosso sistema.

Com base nessa matriz, calculamos nossa matriz Jacobiana que iremos utilizar em nosso modelo estático, para acharmos os resultados requeridos, declaramos os seguintes pontos utilizando-se da matriz da Figura 6 sendo eles,  $P_x = P(1,4)$  da Figura,  $P_y = P(2,4)$  e  $P_z = P(3,4)$ , para calcularmos as 3 primeiras linhas e colunas de nossa matriz jacobiana, iremos utilizar estes mesmos pontos e derivá-los em relação a  $\theta_1$ ,  $\theta_2$  e  $\theta_3$  conforme a notação Jacobiana já explicada neste relatório.

Para as 3 colunas e linhas restantes, utilizamos o conceito das juntas ao qual, duas serão de revolução e uma prismática, ao qual podemos dizer que as juntas prismáticas nos dá um vetor de zeros para nosso Z, onde Z descreve um vetor de 3 linhas e 1 coluna que iremos utilizar em nossa matriz Jacobiana, para as juntas de revolução, teremos que nosso Z será descrito pela 3ª coluna das matrizes, T1 e T3, que são matrizes de origem de juntas de revolução, após a realização destes cálculos chegaremos na seguinte matriz Jacobiana.

$$J = \begin{vmatrix} -\sin(\theta_1) \cdot (D3 \cdot (\sin(\theta_2 + 90^\circ) + L2 \cdot \cos(\theta_2 + 90^\circ))) & \cos(\theta_1) \cdot (-D3 \cdot \sin(\theta_2) - L2 \cdot \cos(\theta_2)) & \cos(\theta_1) \cdot \sin(\theta_2 + 90^\circ) \\ \cos(\theta_1) \cdot (-D3 \cdot \cos(\theta_2 + 90^\circ) + L2 \cdot \sin(\theta_2 + 90^\circ)) & \sin(\theta_1) \cdot (D3 \cdot \cos(\theta_2) - L2 \cdot \sin(\theta_2)) & -D3 \cdot \cos(\theta_2) + L2 \cdot \sin(\theta_2) \\ \cos(\theta_1) \cdot (\sin(\theta_2 + 90^\circ)) & -\sin(\theta_1) \cdot \cos(\theta_2 + 90^\circ) & \cos(\theta_2 + 90^\circ) \\ -\sin(\theta_1) & \cos(\theta_1) \cdot \sin(\theta_2 + 90^\circ) & 0 \\ \cos(\theta_1) & -\sin(\theta_1) \cdot \cos(\theta_2 + 90^\circ) & 0 \\ 0 & \cos(\theta_2 + 90^\circ) & 0 \end{vmatrix}$$

Figura 7: Matriz Jacobiana.

Para facilitar nossos cálculos, substituímos todos os valores da matriz e transpomos ela, os valores foram dados, sendo estes:

Variaveis	Valores
$\theta_1$	45°
$\theta_2$	45°
L1	0.5m
L2	0.1m
D3	0.3m

Figura 8: Valores das variáveis.

Após a substituição e utilizando-se dos valores da Figura 8 ficamos com:

$$J = \begin{bmatrix} 0,010 & 0,200 & 0,500 \\ 0,010 & 0,010 & -1,414 \\ 0,500 & 0,500 & -0,707 \\ -0,707 & 0,500 & 0,000 \\ 0,707 & 0,500 & 0,000 \\ 0,000 & -0,707 & 0,000 \end{bmatrix}$$

Figura 9: Matriz Jacobiana substituída.

Então, transpomos a nossa matriz Jacobiana para utilizá-la na fórmula descrita na introdução deste relatório para enfim, obter o modelo estático.

$$\begin{bmatrix} \tau_1 \\ \tau_2 \\ F_3 \end{bmatrix} = \begin{bmatrix} 0,01 & 0,01 & 0,5 & -0,707 & 0,707 & 0 \\ 0,2 & 0,01 & 0,5 & 0,5 & 0,5 & -0,707 \\ 0,5 & -0,1414 & -0,707 & 0 & 0 & 0 \end{bmatrix} \times \begin{bmatrix} F_x \\ F_y \\ F_z \\ M_x \\ M_y \\ M_z \end{bmatrix}$$

Figura 10: Modelo Estático do sistema robotizado.

Fazendo a multiplicação dessa matriz, obtemos os seguintes valores para as forças e momentos, dados que o Torque 1 é = 2 [Nm], Torque 2 = 1 [Nm] e Força 3 = 1 [N]:

Segue-se abaixo as equações do modelo estático:

$$\tau_1 = 0,01F_x + 0,01F_y + 0,5F_z - 0,707M_x + 0,707M_y = 2$$

$$\tau_2 = 0,2F_x + 0,01F_y + 0,5F_z + 0,5M_x + 0,5M_y - 0,707M_z = 1$$

$$F_3 = 0,5F_x - 0,1414F_y - 0,707F_z = 1$$

Para obtermos a força pura orientada para o chão, zeramos todas as componentes diferentes de Z, portanto, segue-se que:

$1 - F_3 = -0,707F_z$ , logo:  $F_z = -F_3/0,707$  subst (1) na equação que relaciona os torques, temos:

$$\tau_1 = (-0,5/0,707) * F_3 \text{ e também,}$$

$\tau_2 = (-0,5/0,707) * F_3$ , conhecendo com  $\tau_1$ , para orientação oposta ao chão, consideramos que o eixo positivo para Z é orientado para 'cima'.

$2 - F_3 = 0.707F_z$ , logo:  $F_z = F_3/0.707$  subst (2) na equação que relaciona os torques, temos:

$$\tau_1 = (0.5/0.707) * F_3 \text{ e também,}$$

$$\tau_2 = (0.5/0.707) * F_3$$

Vemos que ambos os resultados possuem módulos iguais, porém com sinais distintos, e isto já era esperado, pois para o mesmo modelo, estamos apenas considerando direções opostas.

Caso queiramos estudar o comportamento da força pura em vários eixos em nosso modelo, basta utilizarmos valores conhecido de Torque e Força e assim, acharemos os valores de todas as componentes de força do modelo, pois zerando os momentos, ficaremos com uma equação S.P.D com 3 variáveis e 3 equações.

## III Conclusão

Foi aprendido como obter modelos de sistemas robotizados utilizando-se da ferramenta poderosa que é a matriz Jacobiana, e também de características do funcionamento de forças e torques em um sistema mecânico, concluímos a veracidade do teorema que relaciona torques e forças e da descrição fiel que o mesmo se dá para o manipulador.

## IV Referências

[1] Corke, Peter. *Robotics, Vision and Control: Fundamental Algorithms in MATLAB*. Springer Verlag NY, 1, 2011. ISBN: 3642201431

[2] John, J. Craig. *Robótica: Introdução a Robótica Industrial*. Pearson Brasil, 3, 2013. ISBN: 9788581431284.